

異方性の傾斜せる地山中のトンネル周辺応力の光弾性実験について

徳島大学工学部 正員 小田英一
徳島大学工学部大学院 学生員 ○才木繁

均質等方性体の地山、トンネル周辺の応力解析は、光弾性実験によらずに行なわれているが、実際の地山にはある方向に数多く岩目が発達している、均質異方性体をなす場合とが異なった岩石が互層をなしている場合とかがある。この研究は、現実の地山に近づけるため前者の地山を対象としていて、岩目方向の弾性係数と二つと直交方向の弾性係数が必ずしも異なる場合で、岩目方向が水平と45°に傾斜した地山中のトンネル周辺の応力分布を光弾性実験によって求めたものである。

光弾性実験としては、エポキシ樹脂とアクリラート樹脂による同形の二つの模型を作成した。模型は写真-1に見られるように、層厚1cmのスライスをエポキシ、アクリラート樹脂板よりそれぞれ切り取って、同種のスライスを接着剤(アロニアルフ)で接着し90×605mmの長方形板を二枚作り、その板の中央に二車線型の道路トンネルを使用される一般的な形のトンネル穴を開けたものである。エポキシ樹脂とアクリラート樹脂による同形の模型を作成したものは、光弾性実験において繰り返し測定するものはエポキシ樹脂による模型を、等傾線を観測するにはアクリラート樹脂による模型を用いた。使用したエポキシ樹脂板は光弾性感度 $\alpha = 1.073 \text{ } \mu/\text{kg}$ 、板厚を605mmのものを用いた。

エポキシ樹脂板で異方性体を作成した試料の弾性係数については、図-1に示す。

図-1における岩目方向(X方向)に等分布荷重を加えた場合のX方向のヒズミ量を測定した結果よりX方向の弾性係数 $E_x = 72,900 \text{ } \text{kg}/\text{cm}^2$ となる。また岩目方向と直交する方向(Y方向)に荷重を加えた場合のY方向のヒズミ量を測定した結果より、Y方向の弾性係数 $E_y = 66,000 \text{ } \text{kg}/\text{cm}^2$ となり、この材料の異方性は $E_x/E_y = 1.04$ となる。

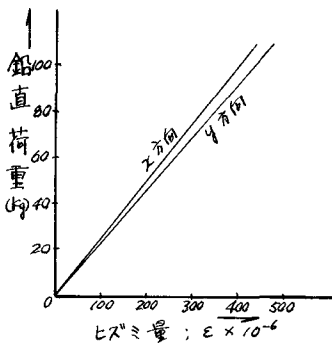
写真-1は、エポキシ樹脂の模型に鉛直荷重0.362kg/mm²を載荷したときの縮模様である。写真-2は、等方性の場合で、エポキシ樹脂の模型に鉛直荷重0.277kg/mm²を載荷したときの縮模様である。載荷重は等分布荷重が載荷面にかかる装置とした。等傾線の観測において、θ；検光子と偏光子と共に時計方向に回転する角度として、θ = 0°, 3°, 5°, 10°, 15°, 20°, 25°, 30°, 40°, 50°, 60°, 65°, 70°, 75°, 80°, 85°, 87°の場合一つについて写真撮影をなし等傾線を求めた。繰り返し測定より主応力 P_i , g_i を求めるにはLamé-Maxwellの方程式のTobinの変換法を用いた。すなわち図-2の符号を参考して、 i 点の+ S_1 方向、+ S_2 方向の主応力をそれぞれ P_i , g_i として、境界における点Oの既知の主応力を P_0 , g_0 とする。

$$P_i = P_0 + \int_0^\pi (P - g) \cot \psi d\theta$$

$$g_i = g_0 - \int_0^\pi (P - g) \cot \psi' d\theta$$

によって素掘トンネル周縁の法線方向の主応力が零という境界条件を利用して応力を求めたのである。

図-1 荷重-ヒズミ曲線



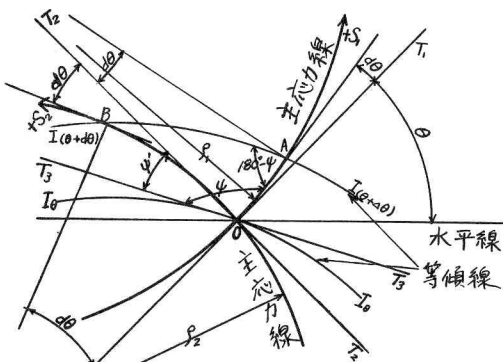
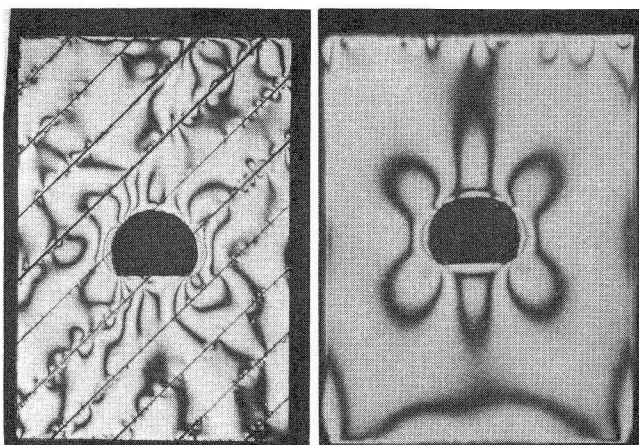


図-2 Lamé-Maxwellの方程式の
Film の一般変換法を示す図

トネル周縁の切線方向の直応力を σ_0 とし、法線方向の直応力を σ_0' とする。図-4のような σ_0 , σ_0' を求めには図の $\angle I \sim \angle IV$ の直線方向に対して、先に求めた主応力を P , Q とする σ_0 , σ_0' の方向と σ_0 , σ_0' の方向のなす角を求めてモールの応力円の原理を利用して求める。図-4はトネル周辺の応力分布図である。図-3はトネルの周縁応力 σ_0 の分布図である。この場合、地山の岩目方向は右上より左下に傾斜しているものとする。実線は異方性地山中のトネルの周縁応力分布であり、破線は等方性地山中のトネル周縁応力分布である。両者を比較する

と等方性の場合、応力が左右対称であるのに対し、異方性の場合には図-3のトネルの左側壁の σ_0 は起扱線より下方で等方性の場合より大となっている。右側壁においては σ_0 は、等方性地山の場合よりも全部小となっている。トネルの左側壁においては等方性のときと異方性のときとの σ_0 の分布曲線にあまり大きな差がないが、右側壁では等方性地山のときより異方性地山のときの σ_0 の分布はかなり小である。これは異方性地山のときの σ_0 の分布が全般的に少し小となるためで実験誤差そのためと考えられる。しかし、異方性地山のときは、左側壁の σ_0 は右側壁の σ_0 よりかなり大となっている。すなわち図-4において σ_0 の値は圧縮応力で左側壁中央では右側壁中央の値の1.15倍となっている。地山の中に入った近傍においても $\angle II$ 線上では、 σ_0 の値は $\angle IV$ 線上の σ_0 の約1/10倍となりトネルより遠ざかるにしたがい次第に減じて自然地山の荷重に漸近している。つぎにトネル上盤中央 $\angle A$ 線上では引張応力で等方性地山の σ_0 を近似した値となっている。また $\angle A$ 線上の A 点の σ_0 は引張応力でトネルより地山の中に入るにしたがい $\angle A$ 線上では圧縮応力になり、 $\angle IV$ 線の A 点で圧縮がかなり大となり、 $\angle IV$ の B 点では少し引張応力が発生し、これより地山をはなれるとまた圧縮応力となつていて。 $\angle IV$ 線上では等方性地山の場合と近似した分布である。このことはトネル上盤の引張応力の領域が岩目の傾斜をうけて $\angle IV$ 線の B 点附近において左側にかたよっていることを示している。以上のことより岩目が 45° に傾斜しているときは左肩の方が右肩部より土圧が大となることがわかる。このことは高知県赤良木トンネルの工事例をみてもわかることがある。



異方性の場合の 縞模様

写真-1

等方性の場合の 縞模様

写真-2

